

©1994 г.

## ДЛИННОВОЛНОВОЕ ИНФРАКРАСНОЕ ИЗЛУЧЕНИЕ В *n*-InSb В СИЛЬНЫХ ЭЛЕКТРИЧЕСКИХ ПОЛЯХ

*В.К.Малютенко, О.М.Булашенко, А.Г.Коллюх, В.А.Мороженко*

Институт полупроводников Академии наук Украины,  
252650, Киев, Украина

(Получена 9 августа 1993 г. Принята к печати 24 декабря 1993 г.)

Экспериментально и теоретически исследовано внутризонное излучение горячих электронов в *n*-InSb в далекой инфракрасной области спектра ( $\lambda = 80 \div 110$  мкм, пассивная область энергии) в широком диапазоне температур ( $15 < T < 80$  К). Проанализировано влияние различных механизмов рассеяния на формирование излучения в кристалле. Показано, что основной вклад в излучение дают электроны с энергией, меньшей энергии оптического фона, а доминирующим механизмом рассеяния является рассеяние на акустических фонах.

1. Как известно [1], в сильных электрических полях, когда температура электронов превышает температуру решетки, возникает внутризонное инфракрасное (ИК) излучение. При рассмотрении многих явлений в таких условиях определяют две области энергии с сильно различающимися интенсивностями рассеяния носителей заряда: активную область, где энергия электрона  $\varepsilon$  больше энергии оптического фона  $\hbar\omega_0$  и доминирующим является рассеяние на оптических фонах, и пассивную — с  $\varepsilon \ll \hbar\omega_0$ , где рассеяние является смешанным [2,3]. Именно излучению горячих электронов в активной области посвящено подавляющее число работ. Однако в достаточно сильных электрических полях в пассивной области находится большая часть электронов, определяющая электрические и оптические свойства полупроводника.

В данной работе экспериментально и теоретически исследовалось излучение горячих электронов в далекой ИК области ( $\lambda = 100$  мкм,  $\varepsilon \ll \hbar\omega_0$  — пассивная область) в широком диапазоне температур решетки ( $15 < T < 80$  К). При этом обнаружена нарастающая с температурой решетки  $T$  зависимость интенсивности неравновесного излучения  $I$  в постоянном греющем электрическом поле. Для объяснения полученных результатов был проведен расчет методом Монте-Карло функции распределения горячих электронов и их внутризонных переходов с испусканием фотона. Показано, что при учете наиболее вероятных механизмов рассеяния доминируют переходы с участием акустических фонаров, а интенсивность излучения пропорциональна их плотности.

**2. Эксперимент.** Длинноволновое излучение в спектральном диапазоне  $80 \div 110$  мкм наблюдалось на образцах  $n$ -InSb с концентрацией нескомпенсированных доноров  $N = (0.4 \div 8) \cdot 10^{14}$  см $^{-3}$  и подвижностью электронов при 77 К  $\mu = 5 \cdot 10^5$  см $^2$ /В·с. Образцы с размерами  $3 \times 1 \times 0.1$  мм $^3$  крепились в волноводе на держателе с регулируемой температурой. Во избежание джоулева нагрева электрическое поле  $E$  подавалось в виде прямоугольных импульсов длительностью 0.6 мкс и частотой повторения 100 Гц. Неравновесное интегральное излучение регистрировалось фотоприемником, Ge:Ga находящимся при 4.2 К, с применением фазового детектирования.

Исследовались полевые  $I(E)$  и температурные  $I(T)$  зависимости неравновесного излучения. На рис. 1 приведены типичные полевые зависимости интенсивности излучения  $I(E)$  горячих электронов при двух температурах решетки. При малых электрических полях,  $E < 15$  В/см, когда разогрев несуществен, излучение практически отсутствует. Далее с ростом  $E$  во всем диапазоне исследуемых полей наблюдается сверхлинейный рост излучения (здесь мы ограничились полями ниже порога ударной ионизации). Вся полученная характеристика аппроксимировалась степенной зависимостью  $I = E^r$ , с переменным показателем степени. В наших результатах показатель  $r$  принимал значение 2.4 при  $E < 60$  В/см и 1.8 при больших полях.

На рис. 2 приведена температурная зависимость излучения  $n$ -InSb с различной концентрацией нескомпенсированной примеси при фиксированном значении электрического поля. Качественный ход зависимости  $I(T)$  практически не зависит от величины прикладываемого поля, поэтому мы рассматриваем результаты при  $E = 100$  В/см. Как видно, в области низких температур ( $T \simeq 5 \div 15$  К) интенсивность излучения очень мала и с ростом  $T$  наблюдается ее резкое увеличение. При  $T \simeq 50$  К рост излучения существенно замедляется. В отличие от ранее наблюдавшейся зависимости  $I(T)$  [4], где имел место спад мощности излучения при высоких температурах, детальное исследование показало отсутствие такого участка в наших образцах.

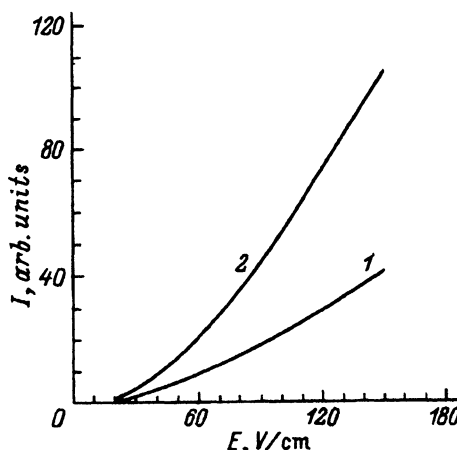


Рис. 1. Полевые зависимости интенсивности излучения образцов  $n$ -InSb при  $E = 100$  В/см. 1 — 30, 2 — 80.

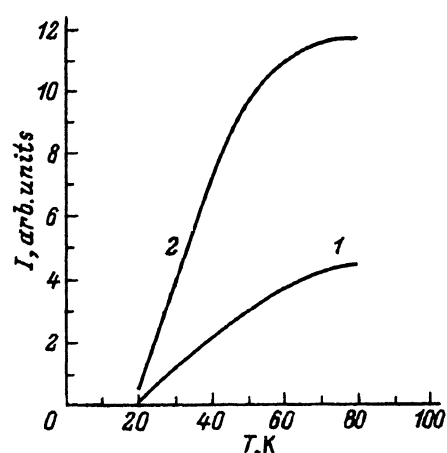


Рис. 2. Температурные зависимости интенсивности излучения образцов при  $E = 100$  В/см.  $N$ , см $^{-3}$ : 1 —  $4 \cdot 10^{13}$ , 2 —  $8 \cdot 10^{14}$ .

**3. Расчет и обсуждение результатов.** Излучение фотона при непрямых внутризонных переходах осуществляется при одновременном рассеянии электрона на третьей частице, в качестве которой могут выступать акустический или оптический фонон, примесь и другие несовершенства решетки. Такой процесс описывается во втором порядке теории возмущений. Следуя методике [5], мы получили выражения для вероятности излучения фотона с частотой  $\omega$  электроном с энергией  $\varepsilon$ : при рассеянии на акустических фононах

$$W_1(\varepsilon, \omega) = A \frac{E_1^2 k T (2m_e)^{1/2}}{2V \rho v_s^2 \hbar^2} (\varepsilon - \hbar\omega)^{1/2} (2\varepsilon - \hbar\omega), \quad (1)$$

на оптических фононах

$$W_{2,3} = A \frac{e^2 \hbar \omega_0}{2V \sqrt{2m_e}} \left( \frac{1}{\epsilon_\infty} - \frac{1}{\epsilon_0} \right) \left( n(\omega_0) + \frac{1}{2} \pm \frac{1}{2} \right) (\varepsilon \mp \hbar\omega - \hbar\omega_0)^{1/2}, \quad (2)$$

на примесях

$$W_4(\varepsilon, \omega) = A \frac{e^4 N \hbar^2}{V \epsilon_0^2 (2m_e)^{3/2} \sqrt{\varepsilon}} \ln \left| \frac{\sqrt{\varepsilon} + \sqrt{\varepsilon - \hbar\omega}}{\sqrt{\varepsilon} + \sqrt{\varepsilon + \hbar\omega}} \right|, \quad (3)$$

где

$$A = \frac{e^2}{3n^2(\hbar\omega)^3}, \quad (4)$$

$E_1$  — константа деформационного потенциала,  $V$  — объем кристалла,  $n(\omega_0)$  — среднее число оптических фононов,  $N$  — концентрация примеси,  $\rho$  — плотность кристалла,  $v_s$  — скорость распространения звука,  $n$  — показатель преломления,  $m_e$  — эффективная масса электрона, остальные константы общепринятые. В формуле (2) верхний знак соответствует испусканию оптического фона, нижний — поглощению. Для длинноволнового излучения при низкой концентрации электронов ( $\approx 10^{14} \text{ см}^{-3}$ ) коэффициент поглощения очень мал и плотность фотонов намного меньше равновесной, поэтому учитываются только спонтанные переходы. Кроме того, плотность оптических фононов  $n(\omega_0)$  можно полагать равновесной, так как накопление фононов при разогреве начинает проявляться только при концентрации электронов порядка  $10^{16} \text{ см}^{-3}$  [3].

Полная вероятность излучения фотона  $W$  с энергией  $\hbar\omega$  получается интегрированием полученных выражений для  $W_i(\varepsilon, \omega)$  по энергиям электронов с учетом их функций распределения:

$$W(\omega) = \sum_{i=1}^4 \int_{\varepsilon_t^i}^{\infty} W_i(\varepsilon, \omega) F(\varepsilon) g(\varepsilon) d\varepsilon, \quad (5)$$

где  $F(\varepsilon)$  — функция распределения электронов,  $g(\varepsilon)$  — плотность состояний,  $\varepsilon_t^i$  — пороговая энергия электрона.

Как видно из (5), вероятность излучения в значительной мере определяется видом функции распределения. В сильном электрическом поле электронная подсистема является существенно неравновесной. Для вычисления  $F(\varepsilon)$  в этом случае, как известно, наиболее достоверные результаты получаются при использовании метода Монте-Карло. По стандартной методике одночастичного метода Монте-Карло [6] было проведено численное моделирование движения электрона в  $k$ -пространстве с учетом наиболее близких к реальным вероятностей рассеяния. В расчетах использовались следующие значения параметров вещества:  $m_e = 0.014m_0$ ,  $\varepsilon_g = 0.225 \text{ эВ}$ ,  $\hbar\omega_0 = 0.025 \text{ эВ}$ ,  $\rho = 5.79 \text{ г}/\text{см}^3$ ,  $v_s = 3.7 \cdot 10^5 \text{ см}/\text{с}$ ,  $E_1 = 30 \text{ эВ}$ ,  $\epsilon_0 = 18.7$ ,  $\epsilon_\infty = 16$ .

При моделировании движения электрона фиксировались значения его энергии  $\varepsilon_k$  в конце каждого свободного пролета перед рассеянием. После осуществления достаточно большого количества столкновений ( $N_s > 10^5$ ) вероятность излучения вычислялась по формуле

$$W(\omega) = \sum_{i=1}^4 \frac{1}{N_s} \sum_{k=1}^{N_s} W_i(\varepsilon_k, \omega), \quad (6)$$

что эквивалентно формуле (5), где интеграл заменен на сумму, а случайная величина  $\varepsilon_k$  имеет распределение  $F(\varepsilon)$ .

По (6) можно вычислить спектральные характеристики излучения. Интенсивность излучения в заданном спектральном диапазоне получается интегрированием  $W(\omega)$  по частоте в интервале  $\omega_1 - \omega_2$ :

$$I = \int_{\omega_2}^{\omega_1} W(\omega) \rho(\omega) d\omega, \quad (7)$$

где  $\rho(\omega)$  — спектральная плотность фотонов.

Здесь следует отметить одно обстоятельство. Амплитуда наблюдаемого в эксперименте излучения равна разнице между величинами сигналов излучения образца в электрическом поле  $E$  и равновесного излучения ( $E = 0$ ). Поэтому выражение (7) вычислялось для двух случаев — в поле и без поля, а найденная разность сопоставлялась с экспериментом.

На рис. 3 показаны температурные зависимости интенсивности излучения, рассчитанные [7] для разных механизмов рассеяния при концентрации примеси  $N = 4 \cdot 10^{13} \text{ см}^{-3}$ . Кривые 1, 2 соответствуют интенсивностям излучения при рассеянии на оптических фонах и примеси и практически не зависят от температуры решетки. Заметную температурную зависимость проявляет излучение при рассеянии на акустических фонах (кривая 3). Кривая 5 представляет суммарную по всем видам механизмов рассеяния температурную зависимость излучения горячих электронов. При этом из рисунка видно, что рассеяние на акустических фонах дает основной вклад в излучение. В отличие от кривой 3 на характеристике 5 отсутствует сверхлинейный участок, характерный для рассеяния на акустических фонах. Это связано с учетом усиливающегося влияния равновесного излучения.

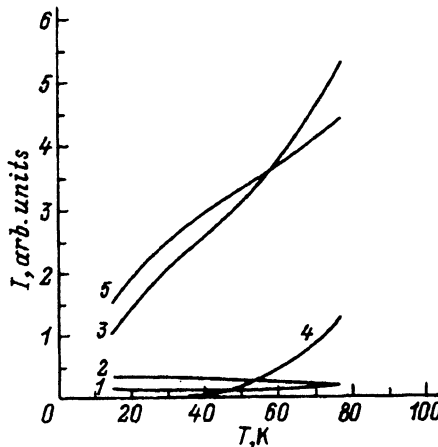


Рис. 3. Теоретические температурные зависимости интенсивности излучения  $n$ -InSb с  $N = 3 \cdot 10^{13} \text{ см}^{-3}$  при рассеянии на оптических фононах (1), примеси (2), акустических фононах (3), равновесного (4) и суммарная характеристика (5).  $E = 100 \text{ В/см}$ .

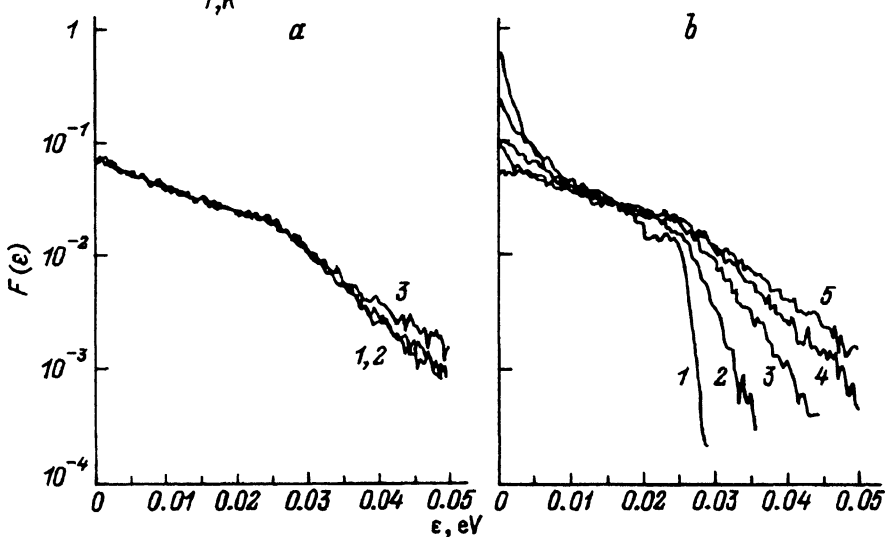


Рис. 4. Теоретические функции распределения электронов в  $n$ -InSb.  
а —  $E = 100 \text{ В/см}$ ;  $T, \text{ К}$ : 1 — 15, 2 — 77, 3 — 100. б —  $T = 30 \text{ К}$ ;  $E, \text{ В/см}$ : 1 — 10, 2 — 30, 3 — 65, 4 — 100, 5 — 130.

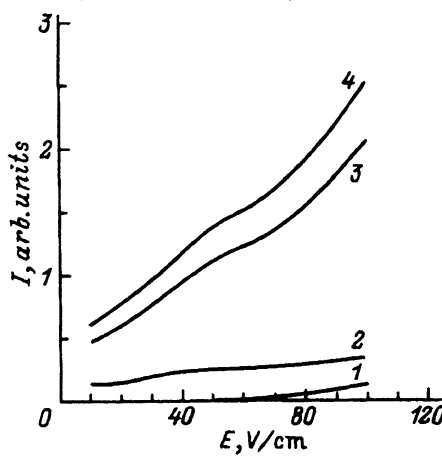


Рис. 5. Теоретические полевые зависимости интенсивности излучения при рассеянии на оптических фононах (1), примеси (2), акустических фононах (3), суммарная (4).  $T = 30 \text{ К}$ .

Из сравнения рис. 2 и 3 видно, что зависимость  $I(T)$  для рассеяния на акустических фонах подобна экспериментальной, поэтому мы будем рассматривать только такой случай. Вклад в  $I(T)$  рассеяния на оптических фонах и на примесях составлял не более 10%.

Проанализируем полученную характеристику. Температурная зависимость излучения может быть обусловлена как зависимостью от  $T$  вероятности излучения  $W_i$ , так и функцией распределения электронов по энергии  $F(\varepsilon)$ . Рассчитанные функции распределения показаны на рис. 4, a, б. При  $E = 100 \text{ В/см}$  для всех температур вид  $F(\varepsilon)$  качественно один и тот же и при  $\varepsilon < \hbar\omega_0$  аппроксимируется экспонентой с характерной температурой  $T_e = 200 \text{ К}$ , а при  $\varepsilon > \hbar\omega_0$  функция распределения испытывает излом из-за интенсивного неупругого рассеяния на полярных оптических фонах.

При низких температурах,  $T < 50 \text{ К}$ , вид функции распределения электронов не зависит от  $T$  (рис. 4, a). В этом случае вероятность излучения фотона  $W$  согласно (5) будет определяться температурной зависимостью  $W_1$  — с ростом  $T$  увеличивается плотность акустических фонаов и, соответственно, вероятность электрон-фононного взаимодействия, вследствие чего и растет интенсивность излучения.

Далее, в области температур  $T > 50 \text{ К}$ , наклон температурной зависимости  $I(T)$  существенно уменьшается. Это обусловлено резким ростом равновесного излучения (рис. 3, кривая 4), и зависимость  $I(T)$  как разность между излучением, вызванным разогревом ( $E > 0$ ), и равновесным ( $E = 0$ ) стремится к насыщению.

Сопоставление расчетных и экспериментальных данных показывает их достаточно хорошее согласие и подтверждает, что основным механизмом рассеяния электрона во внутризонных излучательных переходах при этих температурах является рассеяние на акустических фонах.

С целью выяснения влияния примесного рассеяния проводились эксперименты на более сильно легированных образцах, с  $N = 8 \cdot 10^{14} \text{ см}^{-3}$  (рис. 2, кривая 2). Однако в этих условиях качественный ход зависимости  $I(T)$  не изменяется, происходит лишь увеличение интенсивности излучения, обусловленное увеличением концентрации электронов, что указывает на доминирующую роль рассеяния на акустических фонах и при таких концентрациях (см. рис. 2).

Интерес представляют также и полевые зависимости излучения. Рассчитанные зависимости  $I(E)$  с учетом разных механизмов рассеяния приведены на рис. 5. Характерной особенностью этих зависимостей является существенное замедление темпа роста  $I(E)$  при  $E = 50 \text{ В/см}$ . Расчеты показывают, что в полях  $E > 50 \text{ В/см}$  на функцию распределения носителей заряда существенное влияние оказывает рассеяние на оптических фонах. При увеличении поля происходит перераспределение электронов по спектру, при этом доля электронов с большой энергией увеличивается. С ростом поля, испытывая сильное неупругое рассеяние, электроны возвращаются в низкоэнергетическую область и темп прироста числа электронов с большой энергией замедляется, что должно было проявиться в существенном ослаблении полевой зависимости  $I(E)$ . В эксперименте такая заметная особенность в  $I(E)$  не обнаружилась, однако уменьшение показателя степени  $t$  характеристики  $I(E)$  можно было бы связать с указанным процессом.

Таким образом, нами впервые проведено исследование длинноволнового внутризонного излучения горячих электронов в области низких температур. Показано, что в чистых кристаллах  $n$ -InSb нарастание интенсивности излучения с температурой определяется доминирующей ролью рассеяния электронов на акустических фонах. Это обстоятельство обусловлено тем, что в формирование излучения основной вклад дают электроны с энергией, меньшей энергии оптического фона (пассивная область).

### Список литературы

- [1] Л.Е. Воробьев, В.И. Стafeев. ФТП, **2**, 1045 (1968).
- [2] *Инвертированные распределения горячих электронов в полупроводниках*, под ред. А. Андронова и Ю. Пожелы (Горький, ИПФ АН СССР, 1983).
- [3] Л.Е. Воробьев. ФТП, **8**, 1291 (1974).
- [4] А.Г. Коллюх, В.К. Малютенко, В.А. Мороженко. ФТП, **24**, 931 (1990).
- [5] Б. Ридли. *Квантовые процессы в полупроводниках* (М., 1986).
- [6] С. Jacoboni, L. Reggiani. Rev. Mod. Phys., **55**, 645 (1983).
- [7] *Электроны в полупроводниках*. Т. 1: *Многодолинные полупроводники*, под ред. Ю. Пожелы (Вильнюс, Моксклас, 1978).

Редактор Л.В. Шаронова